

軸対称銀河の準静的進化

宮本昌典 東京天文台

1. Introduction

漏状銀河における Hubble の分類 $S_a - S_b - S_c - S_d \cdots I_r$ は漏状腕の巣き込み具合の系列である。一方 Van den Bergh は写真でみられる Central Bulge と Disk Part の拡かりの比の系列として、 SO を含む漏状銀河を再分類した。これらの分類は、星間気体量や色指数とともに相関を示すことから、何かしら銀河の進化系列を暗示しているものと考えられて来た。

一方、Morphology などには Photometry から離れて、純粹に力学・運動学の立場から銀河を眺める試みもあってよいと思ふ：力学的パラメータ空間では銀河はどのように並びだらうか、更にこれらが並びから、銀河の進化に関する何か積極的な手掛りが得られるのか、この二点が以下の軸対称銀河の模型作りの Motivation である。

ここで考える軸対称銀河は定常状態に到達した（密度波等の種動は別として）無衝突の回転恒星系とする。漏状銀河の Morphology に重要な寄与をしてみると考えられる星間気体量は、各銀河の総質量の高々 10 % 程度だから、現在の銀河は非散逸の恒星系のみなしてよい。

以下の定常・無衝突恒星系とその軸対称銀河模型は、
主として銀河回転の観測データのみに基づいて作成される。銀河回
転の広域観測データが揃っている例はもう多くなく、われわ
れが採用できるのは、やっと 13 組である。

更に、模型作りに際して、観測された銀河回転を恒星集團
の平均的な銀河回転とみなす。実際には、観測される銀河回
転は、速度分散の小さな(数 km/sec)星間気体の速度場だから
観測値は殆んど銀河内の円運動速度を意味する。質量の
大部分をしめる速度分散の大きな恒星集團の銀河回転は、円
運動速度より小さい。しかし、わが銀河系の場合、30 km/sec
程度の速度分散を有する恒星集團の銀河回転と円運動速度との差は 10 km/sec 程度だから、上述の近似は一つの方便として許されよう。

之. 軸対称回転恒星系の力学平衡

円筒座標系 (R, θ, z)、対応する速度成分を (u, v, w)
とするヒ、軸対称・定常・無衝突の仮定から、恒星系の速度
分布函数 $F^*(R, z; u, v, w)$ は、ホルツマン方程式の解として
次のようになる：

$$F^*(R, z; u, v, w) = F(E, J, I_3)$$

但し、

$$\left\{ \begin{array}{l} E = \frac{1}{2}(u^2 + v^2 + w^2) - \Phi(R, z) \\ J = Rv \end{array} \right.$$

I_3 は、いわゆる「三積分であるか」、その解析表現が確立されていないので、 F の I_3 依存性は省略する。重力 $\Phi(R, z)$ は、自己重力系の重力ポテンシャルで

$$\nabla^2 \Phi(R, z) = -4\pi G \rho(R, z) \quad (1)$$

空間密度 $\rho(R, z)$ は

$$\rho(R, z) = \iiint F(E, J) du dv dw \quad (2)$$

$$0 \leq u^2 + v^2 + w^2 \leq 2\Phi(R, z)$$

で与えられる。

適当な $\rho(R, z)$ を与えて、(1) と (2) を満すような $F(E, J)$ を探し出すば、恒星系内の平均速度場、速度分散等々が全て与えられ、力学平衡状態にある軸対称銀河模型が得られる。

ここでは、 $F(E, J)$ を直接求めなくて、ボルツマン方程式の速度に関するモーメント方程式系の解と、このモーメント

$$\langle u^\alpha v^\beta w^\gamma \rangle = \frac{1}{\rho} \iiint F u^\alpha v^\beta w^\gamma du dv dw$$

を求める：とによって、間接的に下を求める。実際、観測から直接得られる量は、平均速度場とか速度分散である。問題になるモーメント方程式系は、静水平衡式 (Hydrodynamic eqs.) である：

$$\frac{\partial}{\partial R} (\rho \langle u^2 \rangle) + \frac{1}{R} [(\rho \langle u^2 \rangle) - (\rho \langle v^2 \rangle)] = \rho \frac{\partial}{\partial R} \Phi \quad (3)-1$$

$$\frac{\partial}{\partial z} (\rho \langle w^2 \rangle) = \rho \frac{\partial}{\partial z} \Phi \quad (3)-2$$

$$\langle u^2 \rangle = \langle w^2 \rangle \quad (3)-3$$

もし、とりらし $\rho(R, z)$ を与えて、(1)による重力ポテンシャルの下に (3)-1~3 を解けば、 $\langle u^2 \rangle = \langle w^2 \rangle$, $\langle v^2 \rangle$ が得られる。これだけの条件からだけでは、銀河回転 $\langle v \rangle$ は一意には定まらない。自己重力系の条件 (2) において、 ρ に寄与する項は $F(E, J^2)$ の部分だけからである。回転を導入するには何等かの条件を加える必要がある。ここで、平均速度 $\langle v \rangle$ のまわりの速度分散 $\langle v^2 \rangle - \langle v \rangle^2$ が次の条件

$$\langle v^2 \rangle - \langle v \rangle^2 = \langle u^2 \rangle = \langle w^2 \rangle \quad (4)$$

を満すように $\langle v \rangle$ を定めることにする (Isotropic Dispersion)。

銀河の密度・ポテンシャル分布を次の函数対の重ね合せて表現する (Miyamoto & Nagai 1975, Nagai & Miyamoto 1976) :

$$\rho_n(R, z) = \frac{M}{4\pi(2n-1)!!} \sum_{k=0}^n \frac{(2n-k)!(k+1)a^k}{z^{n-k}(n-k)!} \times \left\{ \frac{P_{k+1}(x)}{[R^2 + (\sqrt{z^2 + b^2} + a)^2]^{(k+2)/2}} + \frac{(k+2)\sqrt{z^2 + b^2} P_{k+2}(x)}{[R^2 + (\sqrt{z^2 + b^2} + a)^2]^{(k+3)/2}} \right\} \quad (5)$$

$$\Phi_n(R, z) = \frac{GM}{(2n-1)!!} \sum_{k=0}^n \frac{(2n-k)!\alpha^k}{z^{n-k}(n-k)!} \frac{P_k(x)}{[R^2 + (\sqrt{z^2 + b^2} + a)^2]^{(k+1)/2}} \quad (6)$$

但し、 $n=0, 1, 2, 3, \dots$, $P_n(x)$ は Legendre Polynomial,

$$x = \frac{\sqrt{z^2 + b^2} + a}{\sqrt{R^2 + (\sqrt{z^2 + b^2} + a)^2}}$$

M , a , b は、それぞれの成分(n) の総質量、 R -方向の弦があり、 z -方向の弦がありを意味する。複雑な函数式を用ひて銀河の密度・ポテンシャルを表現する必要はない。ここでは、 M , a , b を異にする $n=0$ の最も單純な二組の函数式を重ね合わせることによって、銀河中心近傍の球状部と周縁の偏平部の質量分布を再現しようと思う。具体的には

$$\begin{aligned} \rho(R, z) &= \rho_0(R, z; M_1, a_1, b_1) + \rho_0(R, z; M_2, a_2, b_2) \\ &= \sum_{i=1}^2 \frac{b_i^2 M_i}{4\pi} \frac{a_i R^2 + [a_i + 3\sqrt{z^2 + b_i^2}] [\sqrt{z^2 + b_i^2} + a_i]^2}{\left\{R^2 + [\sqrt{z^2 + b_i^2} + a_i]^2\right\}^{5/2} (z^2 + b_i^2)^{3/2}} \end{aligned} \quad (7)$$

$$\begin{aligned} \Phi(R, z) &= \Phi_0(R, z; M_1, a_1, b_1) + \Phi_0(R, z; M_2, a_2, b_2) \\ &= \sum_{i=0}^2 \frac{GM_i}{\sqrt{R^2 + (\sqrt{z^2 + b_i^2} + a_i)^2}} \end{aligned} \quad (8)$$

従って、銀河を表現するための独立な力学パラメータを、球状部を記述するための (M_1, a_1, b_1) と偏平部を記述するための (M_2, a_2, b_2) の 6ヶに制限することになる。観測データの特徴を表現するだけなら、これで 0 パラメータ数は多すぎ

る。そこで、中心部は球状であるという仮定 $a_1 = 0$ と球状部の拡がり b_1 と偏平部另一方向の拡がりは同程度であるという仮定 $b_1 = b_2$ を設ける。 M_1, M_2, a_2, b_1 の 4 ヶのパラメータは観測データを記述するのに充分である。

重ね合せなしの一般的な密度・ポテンシャルに対する静水平衡式 (3)-1~3 の解については Nagai & Miyamoto 1976 参照。二対の密度・ポテンシャルを重ね合わせた場合でも (3)-1~3 は解析的に解けて、特に (7) と (8) の場合には (Satoh & Miyamoto 1976),

$$\langle u^2 \rangle = \langle w^2 \rangle = \frac{G}{8\pi\rho(R,z)} \left\{ \sum_{i=1}^2 \frac{b_i M_i (\sqrt{z^2 + b_i^2} + a_i)}{\left[R^2 + (\sqrt{z^2 + b_i^2} + a_i)^2 \right]^{\frac{3}{2}} \sqrt{z^2 + b_i^2}} \right\}^{\frac{1}{2}} \quad (9)$$

$(b_1 = b_2)$

を得る。 (9) を (3)-1 に代入すれば $\langle v^2 \rangle$ が得られるから、(4) の仮定のとくに、恒星系としての銀河の平均速度場——銀河回転が求まる。このようにして得られた $\langle v \rangle$ は

$$\langle v \rangle = f(R, z; M_1, M_2, a_2, b_1) \quad (10)$$

のような内容になっているから、4 ヶのパラメータは $z = 0$ における銀河回転の観測データを (10) に出来るだけよく fitting することによって求まる。

3. 軸対称銀河の無次元パラメータ空間における分布

13ヶの渦状銀河に対して、前述のように力学平衡を仮定して得られた力学パラメータを表1に示す。表から明らかなるように、銀河の型と力学パラメータとの日のとの相関はないといつてよい。もしそれぞれの銀河が、質量・大きさ等に直接関係せず、ある種の相似則に従って進化していくと考えるなら、銀河の型はむしろ無次元量との相関を示すであろう。そのような無次元量として、 $C = b_1/a_2$ と $T = M_2/(M_1+M_2)$ の2ヶを採用する。 (C, T) 一面に、それらの銀河をプロットすると図1太破線に沿って並ぶ。Crossesは、観測データに(10)をfittingする際の C, T パラメータの許容範囲。このような無次元量で張られる空間でも、銀河の型が順序よく並んでいるとはいえない。少くとも 13ヶの渦状銀河の力学状態は、Hubble系列とは直接の関係を示さないよう見える。ここで注目したいことは、この (C, T) 一面では、銀河が太破線に沿って“かなり”行儀よく並ぶことである。

軸対称の橿円銀河を (C, T) 一面にプロットしたう並ぶのが興味深いところか、力学模型作成に際して必要な運動学的観測データは現在のところ殆んどない。そこで測光的な観測データにも頼ってみる。de Vaucouleursによると、多くの橿円銀河の表面輝度 B は、中心からの距離 r に関して次のよう

なつわゆる $r^{1/4}$ 法則に従う：

$$\log(B/B_e) = -3.33 \left[(r/r_e)^{\frac{1}{4}} - 1.0 \right] \quad (11)$$

但し、 r_e は全光度の $1/2$ の光量を含む半径、 B_e はもとでての表面輝度。M/L 比が場所に依存しないことを仮定する。そして、(7) で与えられる空間密度を各に関して積分して投影 (face-on) 密度分布が、 $0.5 < R/R_e < 2.5$ の範囲で (11) をよく再現する (C, T) 領域を検出してみると図 1 の Ellipticals 領域になる。Ellipticals の分布領域と Spirals の分布領域が完全に分離していることに注目したい。Ellipticals と Spirals とは起源を完全に異にしていると云ふべきであるし、起源が同一であつても、二種類の銀河の一つ (Ellipticals?) が進化の途中で他とは異なる条件を更に賦与されたともいえる。

4. 軸対称銀河の準静的エネルギー一散逸

周囲の媒体から独立して各原始銀河は、総質量と総角運動量を保存しながら、星間気体を媒介にして系のエネルギーを散逸することによって力学構造を変えて現在の銀河に到達した。前述のように、現在の渦状銀河に含まれる星間気体は、総質量の高々 10 % 程度だから、現在の銀河では系全体の構造を変えるほどのエネルギー一散逸は殆んどない。つまり、星々と星間気体との力学的 coupling は殆んど解けていて、エネルギーの散逸という意味の銀河の進化は終了している。

しかし、銀河進化の途上、星々と星間気体が混在し、力学的に強く coupling している時期がある。その時期には、系のエネルギー散逸が効果的に行われ、系の構造は徐々に変化（質量・角運動量の再配分が $1/H$ 程度の time scale で行われる）であろう。

星々と星間気体とか coupling している段階では、星々の無秩序運動と星間気体の乱流との区別はない。そこで、系の crossing time (dynamical time) scale を T_{cross} とし、エネルギー散逸の time scale T_{diss} の

$$T_{\text{cross}} \ll T_{\text{diss}} < 1/H \quad (12)$$

を満たしている場合には、coupling stage の銀河の各進化段階で、星・気体混合系は準静的な状態にあつてであろう。星・気体混合系は、大きさ・質量に依って、各進化段階で (3)-1~3 に従う静水平衡状態にあつたと考えてよい。

図 1 に示されたように、(C, T)一面で渦状銀河が比較的よく整列することから、上述のエネルギー散逸過程は、原始銀河の総質量・大きさ・総角運動量の大小には直接無関係に進行するよう見える。そこで、一種の相似則が成立するようなエネルギー散逸過程があつてと見てみる。

各銀河の総質量 M と総角運動量 Q が保存される場合、無次元の総エネルギー C の準位を求める。各銀河の総角運動量 Q

は、(7) と (10) より

$$Q = 2\pi \int_{-\infty}^{+\infty} \int_0^{\infty} R \langle v \rangle \rho R dR dz$$

積分結果は

$$Q = \sqrt{GM^3 a_2} \cdot \xi(C, T) \quad (13)$$

となる。一方総エネルギー E は

$$E = (\text{重力} + \text{回転} + \text{無秩序運動}) \text{ のエネルギー}$$

であるが、静水平衡を考えているので、ビリアル定理から

$$E = \frac{1}{2} \cdot \text{重力エネルギー}$$

である。従って、(7) と (8) より

$$E = -\frac{GM^2}{a_2} \cdot \gamma(C, T) \quad (14)$$

となる。今、 γ の具体表現は省略する。保存量 M と Q を用いて作られる唯一のエネルギーの次元は GM^5/Q^2 だから、各銀河がそれを異なつて M, Q を保存しながらエネルギーを散逸するとき、無次元（共通）のエネルギー準位は

$$\mathcal{E} = E / (GM^5/Q^2) = -\xi^2(C, T) \cdot \gamma(C, T) \quad (15)$$

である。この準位が図 1 の曲線群である。

各銀河が相似則に従って、エネルギーを散逸するとき、エネルギー散逸の向きは、図中太破線に沿って左上から右下に

向う。但し、太破線は $\alpha = 0.9350$, $\beta = 6.683$ として

$$T = \alpha - \beta C^6 \quad (16)$$

によって表現されている。図から明らかなように、銀河のエネルギーーは、初期には $C \approx \text{const} (0.5 \sim 0.7)$ に沿って散逸され、 $C \approx 0.5$ 近傍から後期では $T \approx \text{const} (\sim 0.9)$ に沿って散逸されていることがわかる。つまり、エネルギーー散逸によって、初期には 中心部と偏平部の間の質量の再配分が行われて、R-方向の拡り a_2 が縮む。後期には、質量の再配分がほぼ完了し、主にR-方向の拡り b_1 が縮む。実際、(16) に沿って、初期には T と共に a_2 もビのように縮むか、そして後期には、 a_2 の減少が C と共にビのようににかかるかを示すと、図2a, 2b のようになる。この様子は (13) より得られる：

$$a_2 = \frac{Q^2}{GM^3} \cdot \frac{1}{\xi^2(C, T)} \quad (17)$$

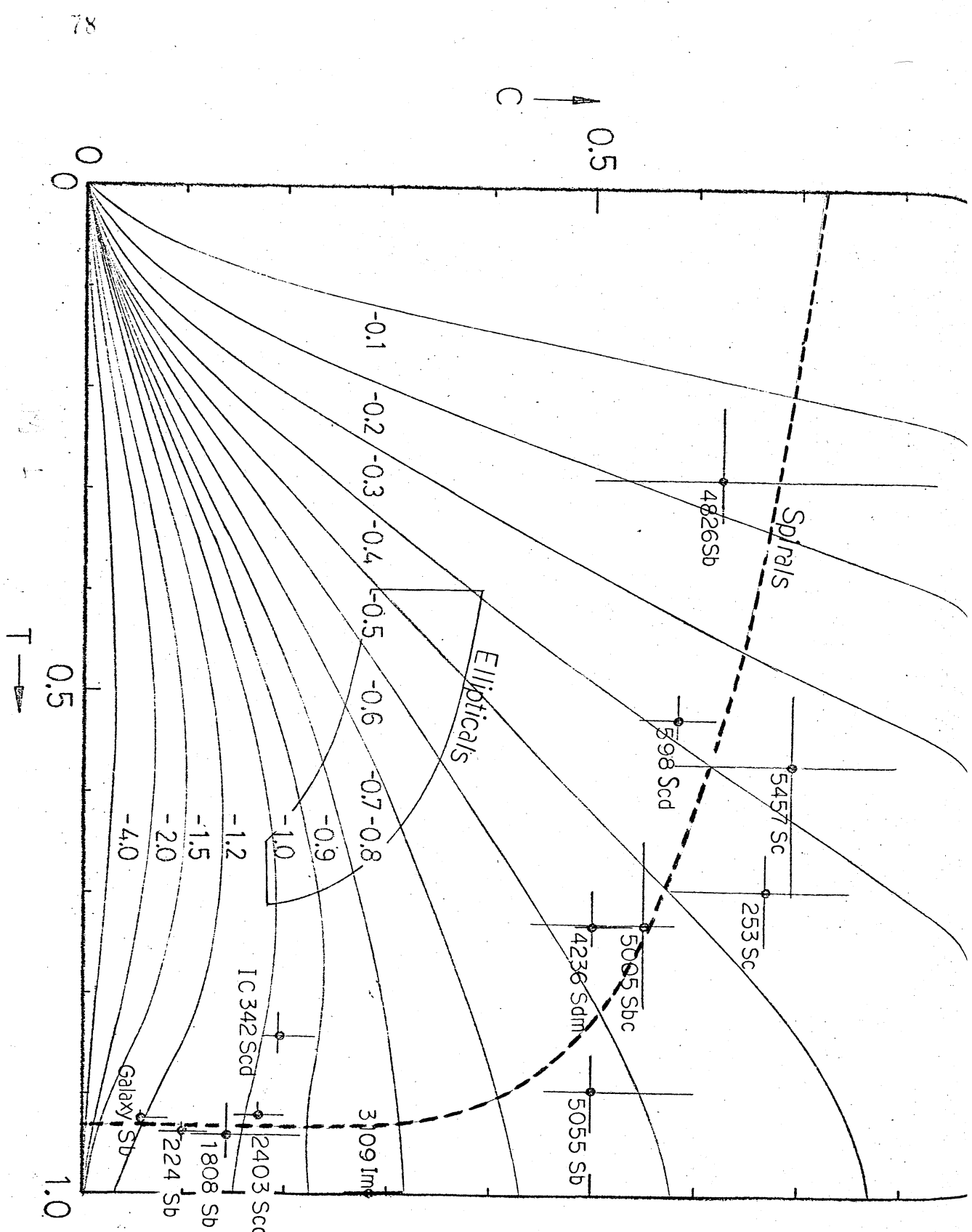
但し、 a_2 は Q^2/GM^3 を単位として計つてある。

NGC 4826 から Galaxy に到るまで、太破線に沿ってこの渦状銀河のちらばりは、各銀河がどの段階で星・星間気体の力学的 Coupling から解放される（星間気体 \rightarrow 星への変換終了）かの Variety に關係していると考えられる。Our Galaxy においては、最後までエネルギーー散逸機構が有効であつてらしい。NGC4826 近傍から Galaxy が進化していくとすれば、R-方向の収縮は

約 $1/5$, Z-方向の収縮は 約 $1/10$ 程度といふことになる。NGC 4826 よりもヒエネルギー準位の高状態から収縮を開始したことすれば、収縮率はむしろ大きくなるに至る。

最後に、以上のような銀河の準静的収縮過程を実証するためには、むしろ数多くの銀河の運動学的観測データの蓄積が望まれる。一方、以上のような銀河進化論には時間が入っていい。時間的進化を追跡するには、Dissipation Processes と質量の気体→星変換のProcesses を具体化しなくてはならぬ。

Objects	a_2 (kpc)	$b_1=b_2$ (kpc)	M_1 ($10^{11} M_\odot$)	M_2 ($10^{11} M_\odot$)	Total Mass ($10^{11} M_\odot$)
Galaxy (Sb) NGC 224	7.283 6.5	0.495 0.65	0.205 0.19	2.547 2.90	2.752 3.09
NGC 253	6.0	4.0	0.50	1.15	1.65
NGC 598	6.0	3.5	0.18	0.20	0.38
NGC 1808	5.5	0.8	0.12	1.90	2.02
NGC 2403	20.0	3.5	0.20	2.30	2.50
NGC 3109	7.0	2.0	0.0	0.13	0.13
NGC 4236	13.0	6.5	0.20	0.55	0.75
NGC 4826	0.8	0.5	0.099	0.040	0.14
NGC 5005	4.0	2.2	0.65	1.77	2.42
NGC 5055	2.0	1.0	0.14	1.16	1.30
NGC 5457	20.0	12.5	3.0	4.0	7.0
IC 342	28.0	5.5	0.9	4.8	5.7



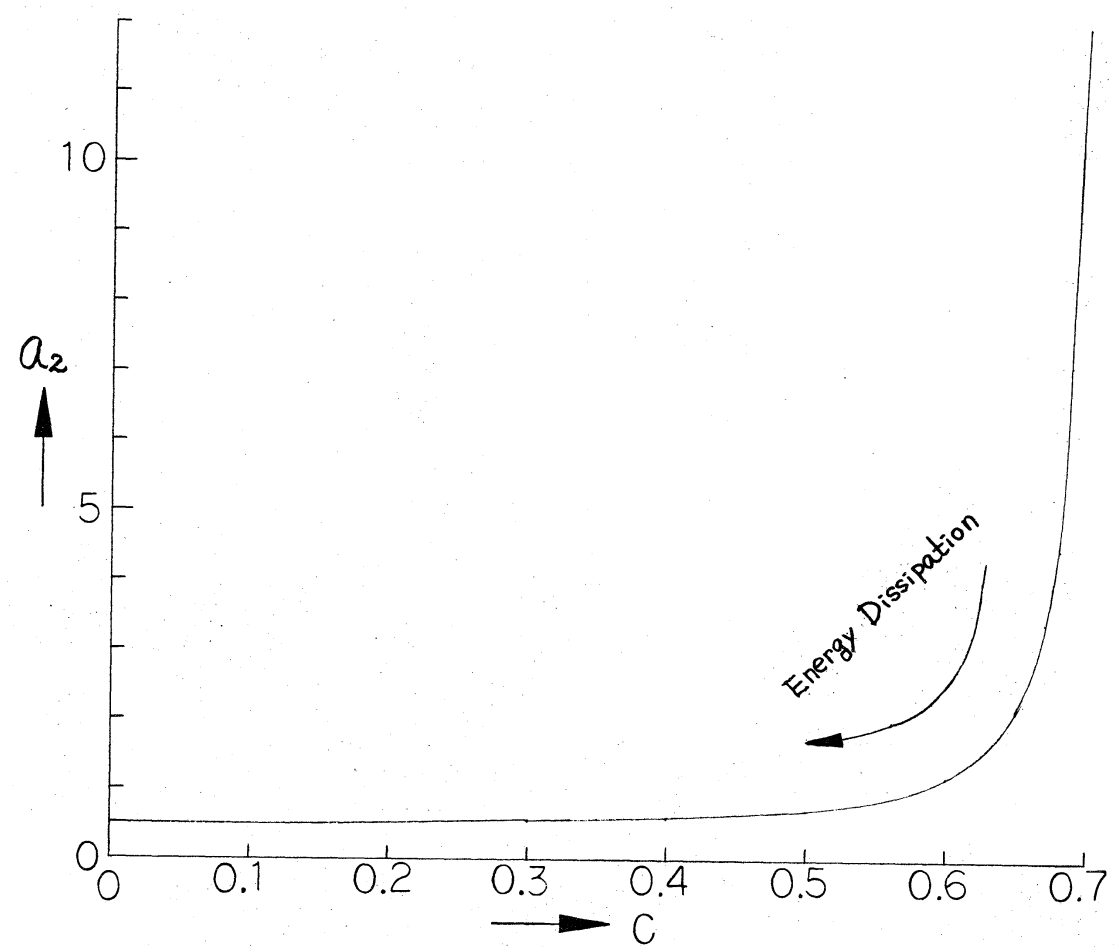


图 2a.

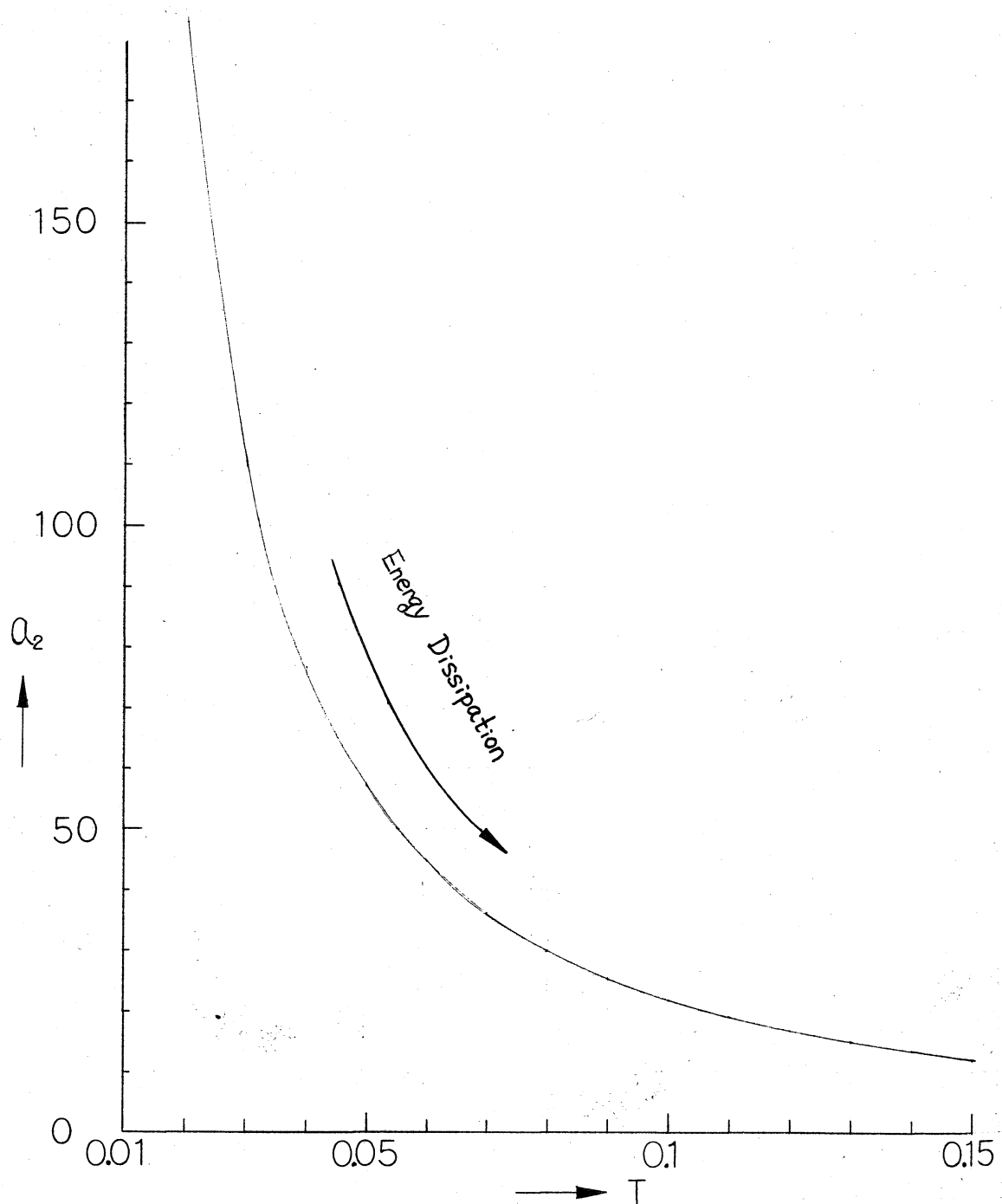


图 2b.